



زمین شیمی، کانی‌سازی و دگرسانی مس پورفیری در منطقه گروه، ساردوئیه (استان کرمان) با نگرشی به نبود پهنه سوپرژن

سیده نرگس ساداتی^{۱*}، محمد جلالی خلیل آبادی^۲، محمد یزدی^۲، آیدا محبی^۳

۱- گروه زمین‌شناسی، دانشکده علوم، دانشگاه محقق اردبیلی، اردبیل، ایران

۲- گروه زمین‌شناسی، دانشکده علوم زمین، دانشگاه شهید بهشتی، تهران، ایران

۳- سازمان زمین‌شناسی و اکتشافات معدنی کشور، تهران، ایران

(دریافت مقاله: ۹۸/۳/۲۰، نسخه نهایی: ۹۸/۷/۲۹)

چکیده: منطقه اکتشافی گروه در ۱۹ کیلومتری شمال شرق شهر ساردوئیه در استان کرمان واقع است. واحدهای سنگ‌شناسی اصلی در این منطقه از قدیم به جدید عبارتند از واحدهای آتشفشانی ائوسن شامل آندزیت و آندزی بازالت و واحدهای نفوذی الیگومیوسن شامل دیوریت، کوارتز دیوریت و گرانودیوریت و واحدهای آذرآواری شامل توف و برش هستند. دگرسانی در منطقه گروه به دلیل نفوذ توده‌های نفوذی به درون سنگ‌های آتشفشانی از گسترش چشم‌گیری برخوردار است. دگرسانی‌های عمده منطقه پروپلیتی، فلیک و تا حدودی پتاسیمی هستند. کانه‌های مس‌دار (کالکوپیریت و ملاکیت) در رخنمون کوچکی از واحد گرانودیوریت پورفیری در شمال شرقی منطقه دیده می‌شوند. بررسی‌های زمین‌شیمیایی و نمودارهای محیط زمین‌ساختی نشان داد که سری ماگمایی این سنگ‌ها در گستره آهکی قلیایی قرار دارد و متالومین تا پرآلومین ضعیف بوده و از گرانیئوتئیدهای نوع I هستند. کانی‌سازی فقط در بخش درونزد دیده می‌شود و شواهد پهنه سوپرژن بسیار ضعیف است. حضور دگرسانی پتاسیمی در سطح و همچنین پستی و بلندی خشن ناحیه نشان دهنده بالآمدگی و فرسایش شدید منطقه است که به احتمال بسیار باعث انتقال مس به مناطق پایین دست شده است.

واژه‌های کلیدی: گروه؛ ساردوئیه؛ دگرسانی درونزد؛ دگرسانی سوپرژن؛ کانی‌سازی مس.

مقدمه

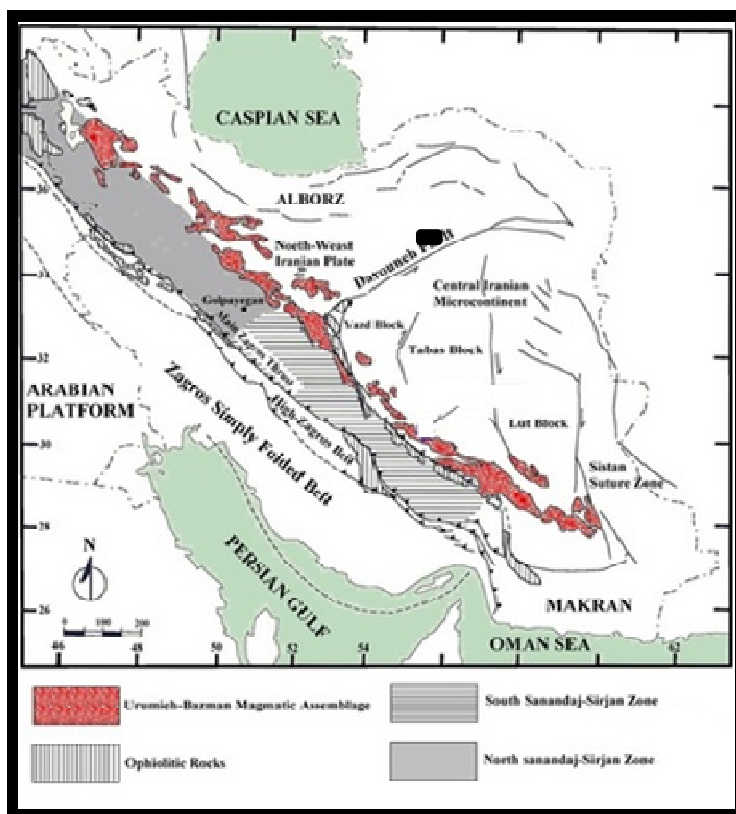
(مجموعه هزار) تشکیل می‌دهد [۵، ۶]. فعالیت‌های آذرین نفوذی با سطح جایگزینی ژرف که از ائوسن میانی در کمان ماگمایی آغاز شده بود با شدت بسیار در بیشتر نواحی کمان همراه با فعالیت‌های آتشفشانی ائوسن میانی - پایانی و الیگوسن میانی (مجموعه هزار) و حتی پس از خاموشی فعالیت آتشفشانی (الیگوسن میانی) تا پایان الیگوسن ادامه یافت. به این ترتیب، یک گستره خطی از توده آذرین نفوذی عمیق در نواحی جنوب شرقی تا مرکزی کمان ماگمایی شکل گرفت [۷، ۸]. با این نفوذی‌های متعدد و پیایی، مجموعه آتشفشانی-رسوبی قدیمی‌تر دستخوش چین‌خوردگی، گسلش، تخریب و فرسایش شدند و در حوضه رسوبی الیگومیوسن، رسوب‌های

نوار دهج - ساردوئیه که نهشته گروه در آن قرار دارد، بخشی از کمربند آتشفشانی-نفوذی ارومیه - دختر است (شکل ۱). در این کمربند، بیش از ۲۰۰ کانسار و نهشته معدنی شناخته شده است [۳-۱]. از مهم‌ترین کانسارها می‌توان به سرچشمه و میدوک اشاره کرد و از نهشته‌های معدنی موجود می‌توان به سرمشک، هنزا، بندر هنزا، سوراخ مار و گروه اشاره کرد [۴]. مهمترین و گسترده‌ترین واحدهای زمین‌شناسی این نوار را سنگ‌های آتشفشانی ائوسن پیشین-میانی (مجموعه بحر آسمان) و ائوسن میانی-پسین (مجموعه رازک) همراه با میان لایه‌های رسوبی و سنگ‌های آتشفشانی الیگوسن

وابسته به پلیو - کواترنر آخرین نموده‌های فعالیت‌های آتشفشانی در کمان ماگمایی کرمان بودند که به صورت بسیار محدود در برخی از نواحی کمان ماگمایی رخ داده‌اند [۶].

نهمین معدنی گروه در شیب‌های شرقی کوه هنزا و حدود ۸ کیلومتری روستای گروه قرار دارد. توده دیوریتی بزرگی در منطقه‌ای به مساحت ۳ کیلومترمربع در سنگ‌های آتشفشانی و آذرآواری نفوذ کرده است و همه به وسیله‌ی تعداد بسیاری دایک میکرودیوریتی قطع شده‌اند. یک پهنه دگرسانی گرمابی با مساحت ۸۰۰ در ۷۰۰ متر مربع در توده نفوذی گسترش یافته است. سیلیسی شدن به طور گسترده دیده می‌شود، آرژیلی شدن در جنوب شرق منطقه و اپیدوتی شدن در سراسر منطقه وجود دارد. یک پهنه گسله به طول ۱۰ کیلومتر از درون توده تا درون سنگ‌های آتشفشانی به سمت شرق گسترش یافته است که در آن مالاکیت و کالکوپریت به طور موضعی یافت می‌شود [۴]. هدف از این پژوهش بررسی عوامل کنترل کننده‌ی تشکیل و تعیین نوع کانه‌زایی مس در این نهمین است و افزون بر بررسی زمین‌شناسی، به شناسایی هاله‌های دگرسانی و تشریح کانی‌شناسی نوع‌های مختلف دگرسانی گرمابی و شیوه کانی‌سازی در توده پورفیری پرداخته می‌شود.

تشکیلات قرمز زیرین، تشکیلات قم و تشکیلات قرمز فوقانی بر جای گذاشته شده‌اند. پس از خروج این نواحی از آب و برقراری شرایط خشکی‌زایی از ابتدای میوسن، فعالیت گسترده آذرین نفوذی در کمان طی دوره میوسن میانی تا پایانی جای خود را به توده گرانیتوئیدی در اندازه استوک و کوچک‌تر داد. آنها تا سطوح کم عمق پوسته نفوذ کرده و بیشتر در بخش‌های مرکزی و شمال غربی کمان جایگزین شدند و به این ترتیب توده‌های گرانیتوئیدی کوه پنج را بدون حضور واحدهای مافیک در گستره کمان شکل دادند [۹، ۱]. در زمان میوسن میانی-پلیوسن، کمان ماگمایی به ویژه در بخش مرکزی تا شمال غرب با نفوذ گسترده توده‌های شبه آتشفشانی نوع دهج و فعالیت‌های بسیار محدود آتشفشانی نوع مزاحم و آج در چهره دو آتشفشان چینه‌ای و چند مخروط بیشتر با ترکیب آندزیت، داسیت، ریوداسیت و ریولیت اما بدون واحدهای مافیک را باعث شد [۱۰]. در مراحل پایانی تکامل کمان ماگمایی، بالازدگی کمان به ویژه در بخش‌های مرکزی تا شمال غربی و فرسایش مناطق بالا زده باعث بر جای ماندن رسوب‌های تخریبی ضخیم فلیش گونه بادبزی شکل در زمان پلیوسن در جوار این بالازدگی شد [۱۱، ۱۲]. فعالیت آتشفشانی مافیک قلیایی



شکل ۱ جایگاه جغرافیایی منطقه مورد بررسی در پهنه ارومیه دختر در جنوب شرق ایران بر نقشه ساختاری ایران.

روش بررسی

برای تفکیک واحدهای زمین‌شناسی، پهنه‌های دگرسانی و شناسایی واحدهای زمین‌شناسی مولد کانه‌زایی، نمونه‌برداری از مناطق دگرسانی موجود در منطقه به روش خرده سنگی انجام شد و تعداد ۱۴ مقطع نازک از سنگ‌های منطقه و ۵ مقطع صیقلی از کانه‌های فلزدار تهیه گردید، همچنین تعداد ۳۸ مقطع نازک از چهار گمانه حفاری توسط شرکت ملی صنایع مس ایران تهیه شد و برای شناسایی پهنه‌های دگرسانی و تشخیص کانی‌های فلزی به وسیله میکروسکوپ نوری بازتابی

بررسی گردید. سپس، تعداد ۷ نمونه با کمترین دگرسانی و هوازگی، برای بررسی‌های زمین‌شیمیایی انتخاب شدند. این نمونه‌ها از واحدهای آتش فشانی (۴ نمونه) و واحدهای نفوذی (۳ نمونه) برداشت شدند. عناصر اصلی نمونه‌ها با طیف‌سنج فلئورسانس پرتوی X (XRF) و عناصر کمیاب نمونه‌ها با طیف‌سنج جرمی پلاسمای جفت شده القایی (ICP-MS) در شرکت ملی صنایع مس ایران (مجمع مس سرچشمه) تجزیه شدند (جدول‌های ۱-۴).

جدول ۱ نتایج تجزیه زمین‌شیمیایی اکسیدهای اصلی در منطقه گروه (عیار عناصر به صورت درصد گزارش شده است).

Sample.No	LOI	SO ₃	Cl	P ₂ O ₅	MnO	TiO ₂	MgO	Cr ₂ O ₃	SrO	K ₂ O	Na ₂ O	CaO	Fe ₂ O ₃	Al ₂ O ₃	SiO ₂
ZGNF.4	۰٫۱	۰	۰٫۰۱	۰٫۲	۰	۰٫۶	۲٫۱	۰٫۰۲	۰	۱٫۴	۴٫۶	۵	۵٫۲	۱۶٫۶	۶۳٫۷
ZGNF.6	۰٫۱	۰	۰٫۰۵	۰٫۲	۰٫۱	۰٫۹	۳٫۹	۰٫۰۷	۰	۰٫۷	۳٫۴	۷٫۹	۹٫۷	۱۷٫۴	۵۴٫۹
ZGNF.8	۰٫۱	۰	۰٫۰۴	۰٫۲	۰٫۲	۰٫۹	۴٫۳	۰٫۰۱	۰	۱٫۱	۳	۷	۸٫۹	۱۶٫۴	۵۷٫۲
ZGNF.24	۲٫۳	۰٫۱	۰	۰٫۱	۰٫۲	۰٫۴۵	۲٫۱	۰	۰٫۱	۲٫۱	۳٫۲۰	۴٫۵	۵٫۶	۱۶٫۱	۶۳٫۶
ZGNF.33	۱٫۶	۰٫۱	۰	۰٫۱	۰٫۱	۰٫۷	۲٫۸	۰	۰٫۱	۱٫۲	۳٫۵	۵٫۶	۷٫۹	۱۶٫۵	۵۹٫۵
ZGNF.38	۲	۰	۰	۰٫۲	۰٫۱	۱٫۳	۲٫۴	۰	۰	۱٫۳	۳٫۵	۴٫۱	۱۳٫۵	۱۵٫۳	۵۶٫۶
ZGNF.58	۰٫۶	۰	۰	۰٫۱	۰	۰٫۳	۰٫۷	۰	۰	۲٫۳	۴	۲٫۶	۲٫۷	۱۴٫۷	۷۲٫۳

جدول ۲ نتایج واحدهای سنگی منطقه گروه تجزیه به روش ICP-MS.

Sample.NO	Rock Unit	Au	Cu	Mo	Bi	As	Sb	Pb	Zn
		(ppb)	(ppm)	(ppm)	(ppm)	(ppm)	(ppm)	(ppm)	(ppm)
ZGNF.10	Volcanic	۱	۳۵	۳٫۶	۰٫۴۱	۷٫۳	۱٫۴	۵	۱۱
ZGNF.27	Volcanic	۱	۳۳	۲٫۲	۰٫۲۲	۴٫۲	۰٫۵	۲۵	۳۱
ZGNF.35	Volcanic	۱	۱۰	۳٫۷	۰٫۶۲	۰٫۵	۰٫۵	۳۷	۱۱
ZGNF.40	Volcanic	۱	۲۶	۴٫۸	۰٫۳۵	۱۶٫۹	۱	۷	۱۲
ZGNF.42	Volcanic	۱	۹۰	۶٫۴	۰٫۴۵	۳٫۶	۰٫۵	۷	۲۵
ZGNF.49	Volcanic	۱	۳۰	۱٫۹	۰٫۳۵	۶٫۸	۱٫۳	۶	۱۰
ZGNF.51	Volcanic	۱	۶۴	۱٫۸	۰٫۵۷	۱٫۸	۱٫۱	۱۲	۵۵
ZGNF.55	Volcanic	۱	۳۳	۴٫۸	۰٫۲۶	۶٫۶	۱	۷	۱۳۰
ZGNF.30	Volcanic	۳	۱۵۵۹۶	۷	۰٫۲۸	۱۰٫۱	۱٫۶	۲۷	۵۰۶
ZGNF.17	Plutonic	۱۰	۴۷۷۹	۱۴٫۱	۰٫۲۳	۰٫۷	۰٫۵	۱	۲۹۰

جدول ۳ ویژگی‌ها و نتایج تجزیه زمین‌شیمیایی چهار گمانه حفاری منطقه گروه (آهن و مس بر حسب درصد و مولبدن، سرب و روی بر حسب ppm).

گمانه	عمق	سنگ درونگیر	بافت	دگرسانی	زون	MAX Cu	MID Cu	MAX Fe	MID Fe	MAX Mo	MID Mo	MAX Pb	MID Pb	MAX Zn	MID Zn
GOH.1	۵۶-۲۸	دیوریت	پورفیری	پتاسیک / پروپیلیتیک	هیپوژن	۰٫۲	۰٫۰۴	۸٫۷	۴٫۹	۷۸	۴٫۵	۱۵۱۸	۴۸٫۴	۱۱۷۱	۱۴۰٫۱
GOH.2	۳۱۸-۳۲۰	دیوریت	پورفیری	پتاسیک / فلیک	هیپوژن	۰٫۵۵	۰٫۰۷	۸٫۵	۵٫۲	۳۶۴٫۶	۱۵٫۷	۱۹۳	۱۶٫۳	۱۳۰٫۲	۱۳۰٫۶
GOH.3	۲۵۸-۲۵۶	گرانودیوریت	پورفیری	پتاسیک / پروپیلیتیک	هیپوژن	۰٫۲۲	۰٫۰۸	۸٫۳	۴٫۷	۲۵۰٫۱	۱۵٫۱	-	-	۱۲۵۴	۱۱۲٫۸
GOH.4	۱۴۸-۱۴۶	گرانودیوریت	پورفیری	پتاسیک / پروپیلیتیک	هیپوژن	۱٫۲	۰٫۱۳	۱۷٫۲	۷٫۳	۸۳۴٫۴	۲۰٫۷	-	-	-	-

جدول ۴ ویژگی های گمانه های GOH.1, GOH.2, GOH.3, GOH.4

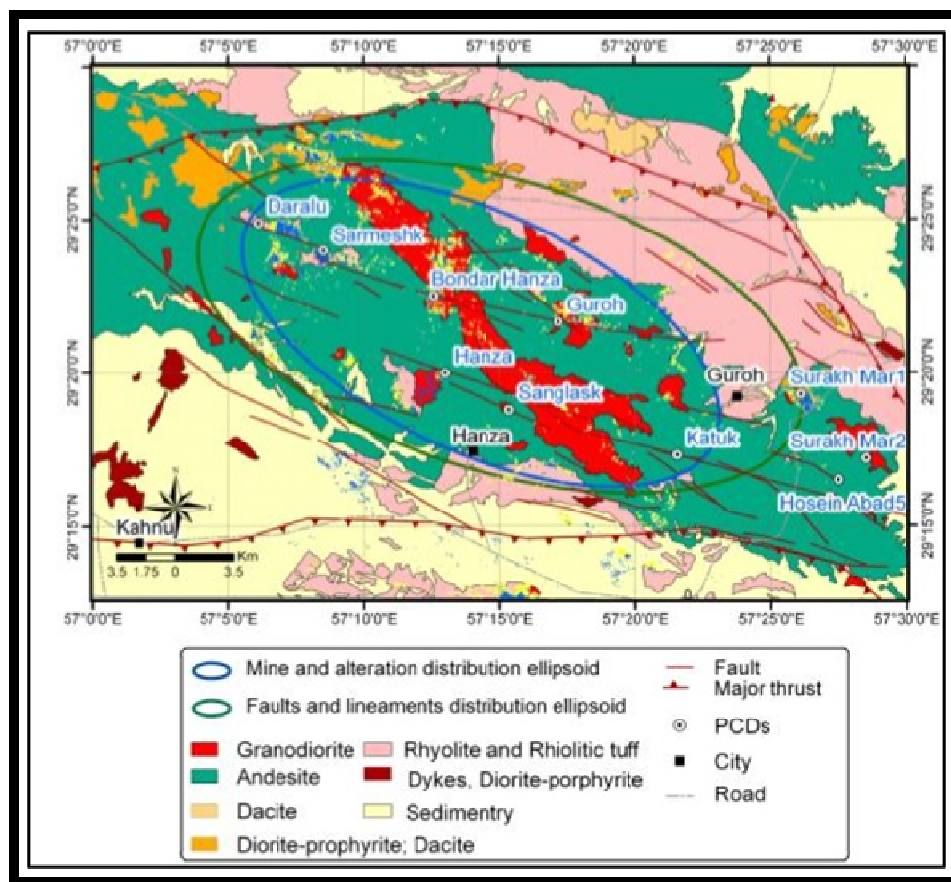
گمانه	نمونه	عمق	سنگ درونگیر	بافت	دگرسانی	دگرسانی
GOH.1	۱-۶	۱۴-۲۷۲,۲	دیوریت	پورفیری	پتاسیمی	پروپلیتی
	۷-۸	۲۹۶-۳۵۸,۵	گرانودیوریت	گرانودیوریت	پتاسیمی	پروپلیتی
	۹	۴۲۲,۸	دیوریت	پورفیری	پتاسیمی	پروپلیتی
	۱۰	۴۸۸	گرانودیوریت	گرانودیوریت	پتاسیمی	پروپلیتی
GOH.2	۱-۳	۲۴-۹۹,۹	دیوریت	پورفیری	پتاسیمی-فیلیک	فیلیک-آرژیلیک
	۴	۱۹۸	کوارتز دیوریت	گرانودیوریت	پتاسیمی	پورفیری
	۵-۶	۲۲۷-۲۵۳,۴	دیوریت	پورفیری	پتاسیمی-فیلیک	فیلیک
	۷-۸	۳۰۶,۹-۳۶۵	گرانودیوریت	گرانودیوریت	پتاسیمی-فیلیک	
	۹-۱۰	۴۲۳-۴۷۸	دیوریت	پورفیری	پتاسیمی-فیلیک	
	۱۱	۴۹۱,۹	گرانودیوریت	گرانودیوریت	پتاسیمی	
GOH.3	۱	۹,۵	دیوریت	پورفیری	پتاسیمی	فیلیک
	۲-۶	۸۹,۵-۲۵۴,۵	گرانودیوریت	گرانودیوریت	پتاسیمی	فیلیک
	۷-۱۱	۲۷۸,۵-۵۰۲,۷	گرانودیوریت	گرانودیوریت	پتاسیمی	فیلیک
GOH.4	۱	۱۱,۵	دیوریت	پورفیری	پتاسیمی	فیلیک
	۲	۱۲۹	گرانودیوریت	گرانودیوریت	پتاسیمی	فیلیک
	۳	۱۹۱	دیوریت	پورفیری	پتاسیمی	فیلیک
	۴-۶	۲۷۹-۴۹۸,۵	گرانودیوریت	گرانودیوریت	پتاسیمی	فیلیک

جایگاه زمین شناسی

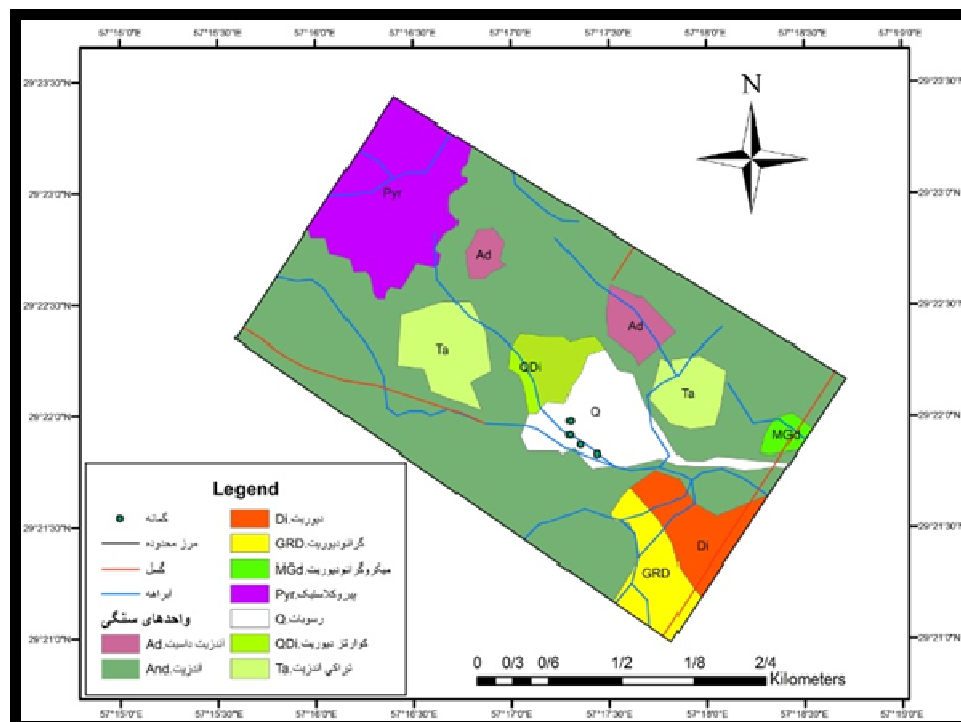
منطقه اکتشافی گروه از نظر تقسیم های کشوری در استان کرمان واقع است (شکل ۱). نزدیک ترین شهر به منطقه مورد بررسی ساردوئیه است که در ۱۹ کیلومتری جنوب غرب منطقه قرار دارد. فاصله نهشته معدنی گروه تا مرکز استان حدود ۹۵ کیلومتر است. نهشته گروه در ۹ کیلومتری روستای گروه قرار دارد (شکل ۲). این نهشته معدنی در گستره ۱/۲۵۰۰۰۰ زمین-شناسی بم و در گستره ۱/۱۰۰۰۰۰ زمین شناسی ساردوئیه واقع است. این منطقه از نظر جایگاه زمین ساختی در پهنه ایران مرکزی، کمربند ارومیه - دختر، نوار دهج - ساردوئیه و در راستای کوه های درب بهشت و هنزا قرار دارد. از نظر زمین-ساختی، این منطقه نیز مانند سایر بخش های کمربند ارومیه - دختر فعال بوده و عملکرد گسل ها و شکستگی ها در واحدهای سنگی منطقه مورد بررسی آشکارا مشهود است.

منطقه گروه بر اساس تقسیم های ایالت ها و مناطق فلزایی معدنی ایران در کمربند فلز-زایی کرمان (پهنه اکتشافی جبال

بارز) قرار دارد. در منطقه، گروه واحدهای سنگی اصلی شامل سنگ های آذرین خروجی، درونی و آذرآواری است. رخنمون واحدهای سنگی در این منطقه متوسط است و با حرکت از مرکز منطقه به طرف شمال غرب، جنوب شرق و شرق منطقه بر میزان رخنمون های سنگی در مقایسه با واحدهای پوشیده افزوده می شود (شکل ۳). بر اساس نقشه های زمین شناسی موجود، سن واحدهای آتشفشانی - آذرآواری در این منطقه ائوسن است. این واحدها قدیمی ترین واحدهای سنگی منطقه هستند. مجموعه سنگ های این واحد به صورت هاله ای تقریباً پیوسته پیرامون واحدهای نفوذی جوان تر منطقه قرار دارند. در بخش مرکزی این منطقه، به دلیل عملکرد فرایندهای دگرسانی و فرسایش بخش عمده ای از واحدهای سنگی توسط پوشش سطحی خاک و واریزه های خود واحد پوشیده شده اند. ریختار واحدهای آتشفشانی - آذرآواری خشن و صخره ای است، در حالی که واحدهای نفوذی ریختار به نسبت ملایم تری دارند و به صورت گنبد های ملایم دیده می شوند (شکل ۴).



شکل ۲ نقشه زمین شناسی کوه هنزا که منطقه گروه در آن واقع است.



شکل ۳ نقشه ساده زمین شناسی نهشته مس پورفیری گروه



شکل ۴ الف: ریختار صخره‌ای واحدهای آتش فشانی در کنار ریختار تپه ماهوری تا نیمه صخره‌ای واحدهای نفوذی، ب و پ: واحدهای آتش فشانی جوان‌تر منطقه که به صورت دایک نمایان شده‌اند.

گیری اشباع‌شدگی آلومینیوم واحدهای سنگی منطقه گروه استفاده شد.

رده‌بندی سنگ‌های آتشفشانی منطقه گروه، بر پایه نمودار مجموع قلیایی‌ها ($\text{Na}_2\text{O} + \text{K}_2\text{O}$) نسبت به SiO_2 (TAS) انجام شد. بر اساس این نمودار (شکل ۶ الف)، نمونه‌های منطقه در گستره‌های داسیت، آندزیت و آندزیت بازالت قرار دارند. برای رده‌بندی سنگ‌های نفوذی، نمودار [۱۳] استفاده شد. بر این اساس، نمونه‌های منطقه در گستره‌های گرانودیوریت، کوارتز دیوریت و تونالیت قرار دارند (شکل ۶ ب).

برای تعیین سری ماگمایی از نمودار [۱۴] استفاده شد. در نمودار قلیایی‌ها نسبت به سیلیس، همه نمونه‌ها در گستره نیمه قلیایی قرار دارند (شکل ۶ پ). در نمودار AFM، همه نمونه‌های برداشت شده جز یک نمونه که به علت بالا بودن درصد Fe_2O_3 در گستره تولیتی قرار گرفت، آهکی قلیایی بودند (شکل ۵ ت). بر اساس نمودار چاپ و وایت [۱۵] گرانیتوئیدهای این ناحیه از نوع I هستند (شکل ۵ ث). در نمودار مانیار و پیکولی [۱۶] که نمونه‌ها از نظر شاخص اشباع بودن از آلومینیم بررسی شده‌اند، نمونه‌های NF.6، NF.4، متاآلومین و نمونه NF.58 پر آلومین ضعیف هستند (شکل ۶ ج).

زمین شیمی عناصر کمیاب در سنگ میزبان

نتایج زمین شیمی این پهنه‌های شامل کانی‌سازی از ۱۰ نمونه سنگی برداشت شده در جدول ۲ آورده شده است، چنان که دیده می‌شود، مقادیر عناصر کمیاب و به ویژه مس در واحدهای

ترکیب سنگ‌شناسی مجموعه آتشفشانی شامل آندزیت و آندزیت بازالت، آندزیت تراکیت، داسیت، توف و برش است (شکل‌های ۵ الف، ث). واحدهای نفوذی با سن زمین‌شناسی جوانتر و به احتمال بسیار الیگومیوسن در این واحدهای آتشفشانی تزریق شده‌اند. از نظر ترکیب، سنگ‌های این مجموعه شامل دیوریت، کوارتز دیوریت، گرانودیوریت و میکروگرانودیوریت هستند (شکل‌های ۵ ح و خ). واحدهای کواترنری به صورت پادگانه‌های آبرفتی و رسوب‌های عهد حاضر رودخانه‌ای هستند و بیشتر در راستای رودخانه اصلی منطقه و موازی آن کشیده شده‌اند. در این منطقه، رخنمون سنگ‌های آتشفشانی نسبت به سنگ‌های درونی بیشتر است و همچنین سنگ‌های آذرآواری گسترش خوبی در منطقه دارند. چنان که بیشتر بیان شد، این منطقه یک منطقه کاملاً کوهستانی است که می‌توان آن را به دو قسمت شمالی و جنوبی تقسیم کرد. در بخش شمالی منطقه، تنها در یک ناحیه بسیار کوچک در شمال شرقی که در آنجا کانی‌سازی رخ داده است، شاهد حضور واحدهای نفوذی هستیم و در بقیه مناطق شمالی، واحدهای آتشفشانی رخنمون دارند. در بخش جنوب منطقه، سنگ‌های درونی و در بقیه مناطق جنوبی سنگ‌های آتشفشانی رخنمون دارند.

بحث و بررسی

زمین شیمی عناصر اصلی

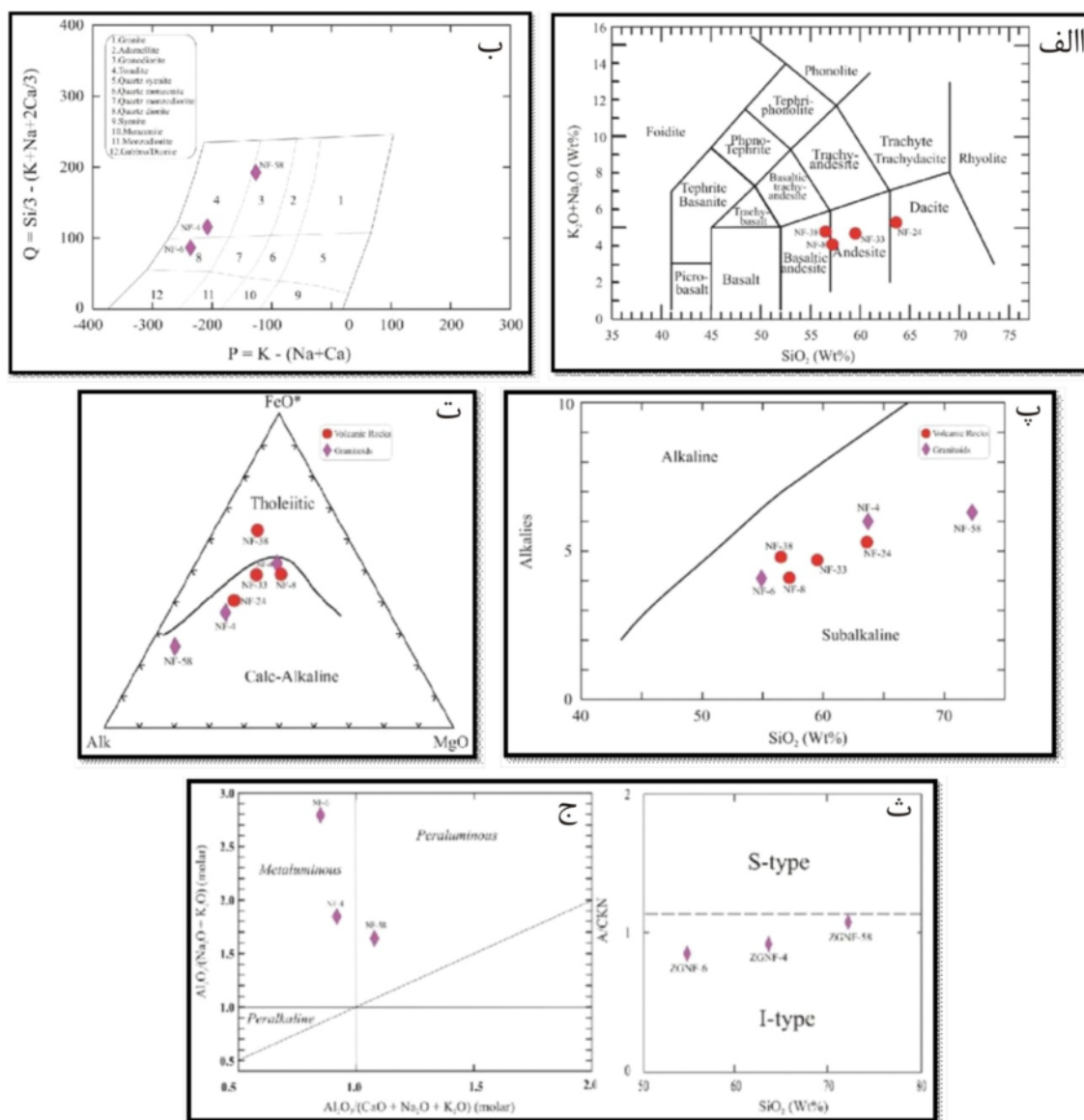
از داده‌های اکسیدهای اصلی سنگ (جدول ۱)، برای نام گذاری سنگ، تعیین سری ماگمایی، تعیین نوع گرانیتوئید و اندازه-

گرانودیوریت پورفیری به صورت استوک کوچک و در بخش کوچکی از انتهای شمال شرق منطقه گروه است. گسترش دگرسانی و زمین ساخته بودن این واحد نیز از شدت چشم-گیری برخوردار است، به طوری که تشخیص نوع سنگ در مقطع نازک را نیز دچار مشکل کرده است. در نمونه ZGNF.17 که از این واحد برداشته شده است، عنصر مس غنی‌شدگی نسبی (۴۷۷۹ ppm) نشان می‌دهد (جدول ۲).

آشفشانی از اهمیت چندانی برخوردار نیست و میانگین مس و سایر عناصر کمیاب در نمونه‌های برداشت شده از این واحدها بسیار پایین است (جدول ۲). نمونه دیگر از کانی‌سازی در دایک‌های آشفشانی جوان رخ داده است (نمونه ZGNF.30)، کانی‌سازی در این نمونه نیز با وجود بالا بودن نسبی عیار مس (۱۵۵۹۶ppm) از اهمیت چندانی برخوردار نیست (جدول ۲)؛ زیرا سازوکار این کانی‌سازی به صورت اولیه و ناشی از بالا بودن مقدار مس در ماگمای اولیه است. رخنمون واحد (میکرو)



شکل ۵. نمایی از رخنمون واحدهای آذرین در مقیاس مشاهدات صحرایی: الف: آندزیت، ب) تراکی آندزیت، پ) داسیت، ت) برش، ث) نمونه دستی توف، ج) دیوریت، چ) کوارتز دیوریت، ح) گرانودیوریت و خ) میکرو گرانودیوریت.



شکل ۶ الف) نمودار مجموع قلیایی نسبت به سیلیس (TAS)، ب) نمودار نامگذاری شیمیایی سنگ‌های درونی [۱۳]، پ) نمودار SiO_2 نسبت به (Na_2O+K_2O) [۱۴]، ت) نمودار جدا کننده سری تولیتی از سری آهکی قلیایی، ث) نمودار پیشنهادی [۱۵]، ج) نمودار [۱۶] که براساس آن گرانیتوئید های منطقه در گستره I قرار دارند.

زمین‌شیمی عناصر کمیاب در گمانه‌های حفاری پهنه‌های کانی‌سازی

در منطقه گروه، چهار گمانه به طول کلی ۲۰۰۷ متر توسط شرکت ملی صنایع مس ایران حفاری شده است که بر اساس داده‌های آنها (لاگ‌ها) کانه‌زایی در عمق بررسی شد. خلاصه نتایج تجزیه زمین‌شیمیایی در منطقه گروه برای ۵ عنصر آهن، مس، مولیبدن، سرب و روی نیز در جدول ۳ آورده شده است. بر این اساس، بیشترین مقدار مس اندازه‌گیری شده برابر با ۱/۲ درصد در گمانه GOH.4 و بیشترین مقدار مولیبدن برابر با ۸۳۴/۴ گرم در تن در گمانه GOH.4 است. عیار میانگین مس

در گمانه‌ها بین ۰/۰۴ (گمانه GOH.1) تا ۰/۱۳ درصد (گمانه GOH.4) و عیار میانگین مولیبدن گمانه‌ها بین ۴/۵ (گمانه GOH.1) تا ۲۰/۷ گرم در تن است (گمانه GOH.4). بر اساس بررسی لاگ‌ها، مقدار عناصر سرب و روی بسیار اندک و غیر اقتصادی است.

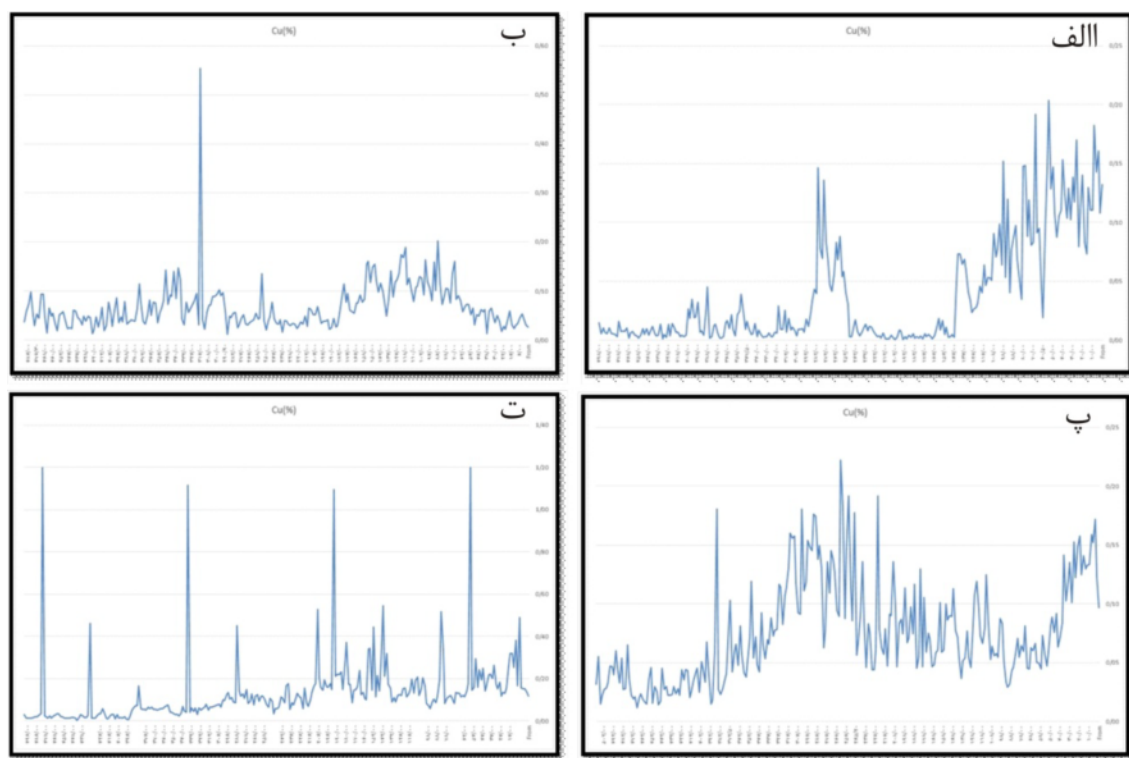
در بررسی گمانه‌ها، فراوانی مس با مولیبدن هم خوانی مشخصی ندارند و مقدار مس با افزایش عمق به طور ترجیحی کاهش می‌یابد (شکل‌های ۷ و ۸). چنان که در نمودارهای تغییرات عیار مس دیده می‌شود، گمانه GOH.1 یک روند ثابت را نشان می‌دهد و با افزایش عمق از مقدار عیار مس کاسته

دیده می‌شود، در بخش بیرونی این کانسارها، پهنه پروپلیتی و در بخش میانی به ترتیب پهنه‌های آرژیلیک، فیلیک و پتاسیمی یافت می‌شود، البته بسته به نوع و سطح فرسایش به احتمال بسیار همه این پهنه‌های دگرسان در سطح زمین دیده نشوند. مناطق دگرسانی به‌طور معمول با کانی‌های مشخصی همراه هستند؛ در کانسارهای مس پورفیری مهم‌ترین این کانی‌ها عبارتند از کانی‌های رسی مانند کائولینیت و ایلیت، کانی‌های گروه اکسید آهن مانند گوتیت و هماتیت و نیز کوارتز-مگنتیت و گاهی کانی‌های کربناتی [۱۷]. در نهشته گروه به دلیل حجم بسیار و عملکرد گسترده سیال‌های دگرسان کننده، فرایندهای دگرسانی از اهمیت و گسترش قابل توجهی برخوردارند. از آنجا که ساختار سنگ در بیشتر سنگ‌های دگرسان این منطقه به خوبی حفظ شده است، بررسی مقاطع نازک در نمونه‌های برداشت شده از این واحدها، امکان تعیین شدت و نوع فرایند دگرسانی رخ داده برای آن‌ها را فراهم می‌نماید. در بررسی‌های سنگ‌نگاری، نمونه‌های مقطع نازک برداشت شده از این منطقه، افزون بر کانی‌شناسی و تعیین درصد کانی‌های اولیه و سنگ‌ساز به منظور تشخیص نام سنگ، توجه ویژه‌ای نیز به کانی‌های ثانویه و گسترش نسبی آنها شد.

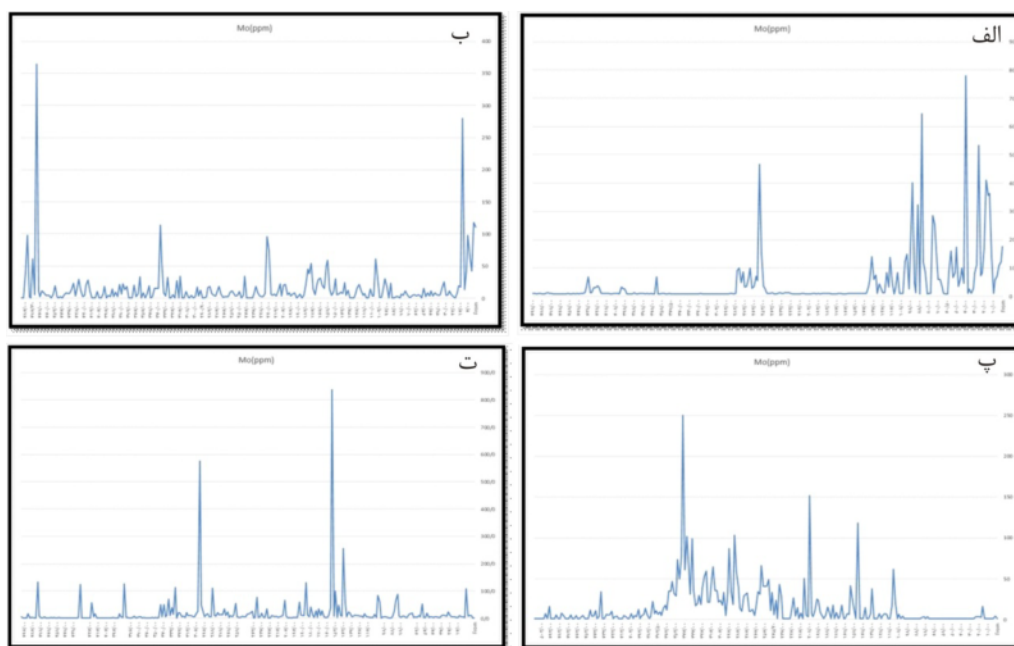
می‌شود. گمانه‌های GOH.2 و GOH.3 یک حالت سینوسی را نشان می‌دهند ولی در کل، با افزایش عمق مقدار عیار مس کاهش یابد. گمانه GOH.4 یک روند ثابت را طی می‌کند و تعدادی قله در این نمودار دیده می‌شود که نشان دهنده رگه‌های غنی از مس است. گفتنی است که بهترین عیارها در این گمانه قرار دارند. تغییرات عیار مولیبدن نسبت به عمق از هیچ قانونی پیروی نمی‌کند و در گمانه‌ها تغییرات متفاوتی را نشان می‌دهد. از نظر کانی‌سازی، مس همراه با توده گرانودیوریتی و دیوریتی است. اختلاف مشخصی بین توده‌های دیوریتی و گرانودیوریتی در مقدار عیار مس و مولیبدن وجود ندارد و اغلب در ابتدای گمانه‌ها، مقدار عیار مس در هر دو توده بالاتر است. کانی سولفیدی غالب در هر دو توده نفوذی، پیریت و به مقدار کمتر کالکوپیریت است. با بررسی لاگ‌ها دیده می‌شود که پهنه‌های اکسیدی و برونزاد در گمانه‌های حفاری شده وجود ندارند و تنها پهنه برونزاد کم عیار در گمانه‌ها دیده می‌شود (جدول‌های ۳ و ۴).

دگرسانی در منطقه گروه

در کانسارهای پورفیری، دگرسانی بیشتر به صورت منطقه‌بندی



شکل ۷ تغییرات عیار مس نسبت به عمق در گمانه الف: GOH.1 ب: GOH.2 پ: GOH.3 ت: GOH.4



شکل ۸ تغییرات عیار مولیبدن نسبت به عمق در گمانه‌های الف (GOH.1 ب) GOH.2 پ) GOH.3 و ت) GOH.4

گسترش به نسبت بسیاری دارد و در کانسارهای بزرگ تا فاصله ۵ کیلومتری ذخیره یافت می‌شود. کانی‌های شاخص این پهنه عبارتند از کلریت، کربنات، اپیدوت، زئولیت، آلبیت و مونتموریلونیت. این دگرسانی به عنوان فراگیرترین پدیده دگرسانی در منطقه گروه شناخته می‌شود و با تغییر رنگ سنگ‌ها از خاکستری به سبز در سطح سوپرژن‌ها قابل مشاهده است. رخداد اصلی این دگرسانی در واحدهای آتشفشانی و شواهد کمی از آن در واحدهای نفوذی دیده می‌شود. این دگرسانی به صورت دو کمر بند، شمال و جنوب منطقه را در بر گرفته است و در بخش‌های مرکزی وجود ندارد. دگرسانی پروپلیتی در واحدهای این منطقه به وسیله تبدیل‌شدگی پلاژیوکلاز به اپیدوت (شکل‌های ۹ الف، ب) و گسترش رگچه‌های کلسیتی (شکل ۹ پ) و به مقدار کمتر حضور کلریت و بیوتیت ثانویه قابل تشخیص است (شکل‌های ۹ ت و ث).

دگرسانی فیلیک

این پهنه بالای پهنه پتاسیمی قرار دارد. کانی‌های شاخص این دگرسانی شامل کوارتز، سرپسیت و پیریت هستند. این دگرسانی در سراسر منطقه گروه به صورت محلی قابل دیده بوده و در نمونه دستی با لکه‌های روشن (قالب درشت بلورهای پلاژیوکلاز) نمایان است. بررسی گمانه‌های حفاری نشان می‌دهد که این دگرسانی هم پوشی شدیدی با دگرسانی پتاسیمی دارد (جدول ۴). این دگرسانی در واحدهای آندزیت تا داسیت بسیار و در واحدهای آندزیتی و دیوریتی به مقدار کمتر دیده

درجه و شدت گسترش دگرسانی در واحدهای مختلف این منطقه متغیر است، به طوری که واحدهای آتشفشانی به شدت دچار فرایندهای دگرسانی شده‌اند، در حالی که واحدهای نفوذی به جز میکروگرانودیوریت پورفیری تقریباً بدون دگرسانی باقی مانده‌اند. نکته شاخص در بررسی‌های دگرسانی در این منطقه، ارتباط نوع دگرسانی رخ داده در یک واحد با نوع سنگ‌شناسی آن واحد است. تغییرات سنگ‌شناسی در یک واحد یا در واحدهای مختلف در این منطقه، هر نوع دگرسانی دیده شده نیز اثر گذاشته و همزمان با تغییرات نوع‌های سنگ‌شناسی، نوع کانی‌های ثانویه و در پی آن نوع دگرسانی رخ داده نیز تغییر نموده است.

چنان که در بخش زمین‌شیمی بیان شد، در منطقه گروه ۴ گمانه به طول کلی ۲۰۰۷ متر توسط شرکت ملی صنایع مس ایران حفاری شده است. از این گمانه‌ها تعداد ۳۸ مقطع نازک برای بررسی‌های سنگ‌نگاری تهیه شد. بر این اساس، مهمترین فرایندهای دگرسانی قابل دیده در این منطقه شامل دگرسانی‌های پروپلیتی (با گسترش بسیار)، فیلیک، کوارتز مگنتیت (پتاسیمی)، آرژیلیک (بسیار کم) هستند که در ادامه توضیح داده می‌شوند و نتایج آن به طور خلاصه در جدول ۴ آورده شده است.

دگرسانی پروپلیتی

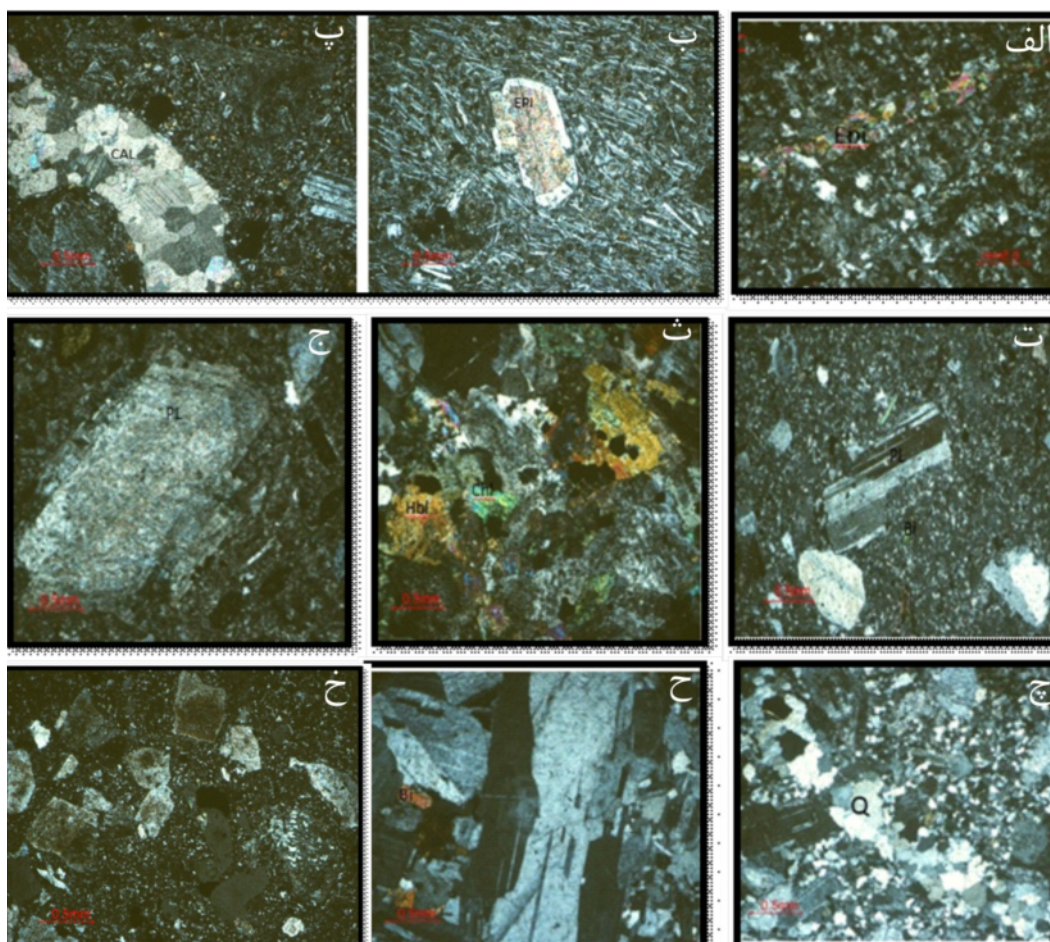
در کانسارهای مس پورفیری این پهنه از خارج پهنه‌های فیلیک، پتاسیمی و آرژیلیک را در بر می‌گیرد. این پهنه

می‌شود. در این پهنه، مقدار زیادی از پلاژیوکلازها به سرسیت دگرسان شده‌اند (شکل ۹ ج).

دگرسانی پتاسیمی

دگرسانی پتاسیمی در بخش مرکزی کنسارهای مس پورفیری واقع است. کانی‌های مشخصه این دگرسانی شامل ارتوز، بیوتیت و کوارتز هستند. کانی‌های کدر که همراه این دگرسانی یافت می‌شوند عبارتند از مگنتیت، کالکوپیریت، بورنیت و پیریت. در منطقه گروه، حضور رگچه کوارتز - مگنتیت نشان‌دهنده دگرسانی پتاسیمی است (شکل ۹ چ). در سامانه‌های مس

پورفیری با توجه به حضور کانی‌های ثانویه دما بالا چون بیوتیت، دگرسانی پتاسیمی از نظر موقعیت مکانی نزدیکترین واحد دگرسانی به استوک پورفیری است (شکل ۹ ح) و تا اندازه‌ای نیز در قسمت بالایی خود توده گسترش می‌یابد [۱۸، ۱۹]. این دگرسانی در منطقه گروه در واحد میکروگرانودیوریت پورفیری گسترش یافته است. این واحد در شمال شرقی منطقه قرار دارد و دارای شواهد کانی‌سازی مس به صورت مالاکیت و کالکوپیریت است [۲۰].



شکل ۹ الف) حضور رگه اپیدوت که نشان دهنده دگرسانی پروپیلیتی در دیوریت است. **ب)** دگرسانی پروپیلیتی در سنگ آندزیت بلورهای پلاژیوکلاز که به صورت ریزسنگ در متن سنگ حضور دارند، البته به صورت درشت بلور نیز بسیار کم وجود دارند که به اپیدوت تبدیل شده‌اند. **پ)** دگرسانی پروپیلیتی در سنگ تراکی آندزیت و حضور رگچه کربناتی، ت دگرسانی پروپیلیتی در سنگ آندزی داسیت. بیشتر پلاژیوکلازها به صورت ریزسنگ و مقدار کمی به صورت درشت بلور وجود دارند و بیوتیت به صورت کانی فرعی دیده می‌شود، **ث)** دگرسانی پروپیلیتی و فیلیک در سنگ گرانودیوریت. کلریت‌های برآمده از کانی‌های مافیک نشان دهنده دگرسانی پروپیلیتی و سرسیستی شدن برخی از پلاژیوکلازها نشان دهنده دگرسانی فیلیک است. هورنبلندها نیز در بعضی قسمت‌ها به کلریت تبدیل شده‌اند. **ج)** دگرسانی فیلیک در آندزی داسیت. پلاژیوکلازهای بسیار بزرگ تا متوسط در سنگ حضور دارند که به کانی‌های رسی دگرسان شده‌اند. **چ:** دگرسانی پتاسیمی با حضور رگچه کوارتز - مگنتیت در میکروگرانودیوریت **ح)** مقطعی از گرانودیوریت با درشت بلورهای بسیار بزرگ پلاژیوکلاز و حضور بیوتیت ثانویه که نشان دهنده دگرسانی پتاسیمی است و **خ)** دگرسانی آرژیلیک در سنگ تراکی آندزیت، بلورهای پلاژیوکلاز و فلدسپار پتاسیم به کانی رسی تبدیل شده‌اند.

دگرسانی آرژلیک

این پهنه در قسمت بالایی پهنه فلیک قرار دارد. این پهنه در اثر آب کافت شدید سیلیکات‌ها توسط آب‌های زیرزمینی اسیدی شکل می‌گیرد. کانی‌های شاخص این پهنه عبارتند از: کائولینیت، مونتوریلونیت، کربنات، سرسیت، پیریت و گاهی آلونیت. این دگرسانی با گسترش کانی‌های رسی در پلاژیوکلازها و فلدسپارهای پتاسیم قابل شناسایی است. این دگرسانی به مقدار بسیار کم در منطقه قابل دیده است و از گسترش چندانی برخوردار نبوده و تنها در واحد تراکی آندزیت قابل دیده است (شکل ۹ خ).

کانی سازی و توالی همبرزایی

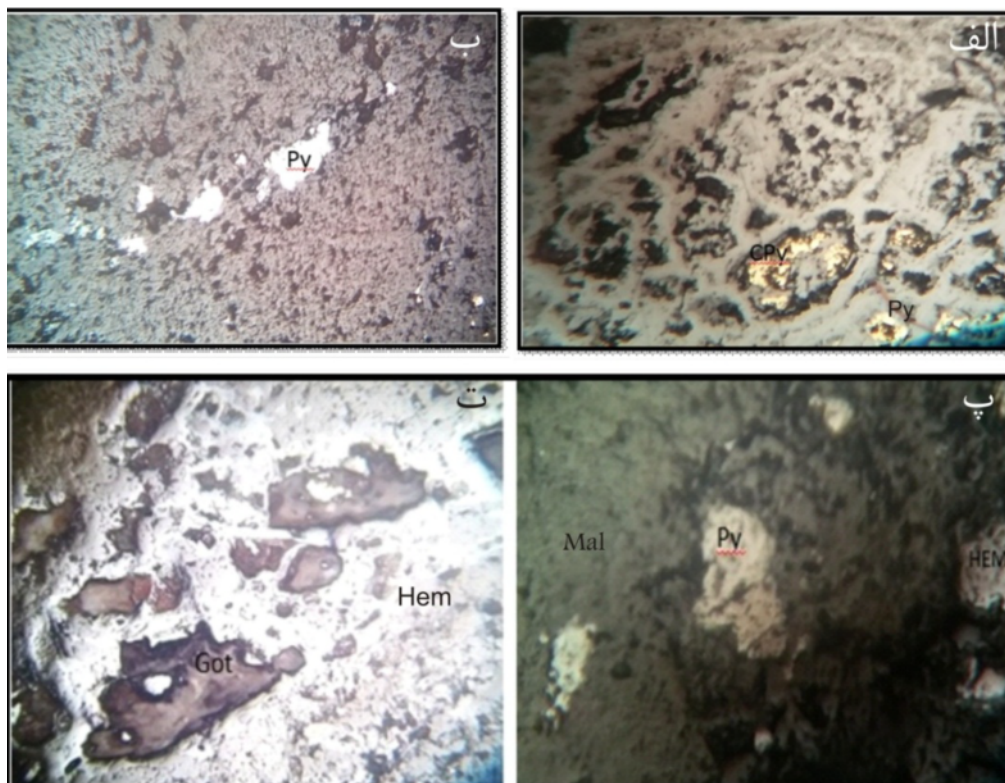
در این منطقه دو نوع سنگ‌شناسی وابسته به کانی‌سازی مطرح و قابل بررسی است. با توجه به ماهیت حد واسط تا مافیک سنگ‌های آتشفشانی این منطقه، به نظر می‌رسد که حضور کانی‌سازی مس اولیه در این سنگ‌ها دیده شود. افزون بر این کانی‌سازی کم اهمیت که بیشتر به صورت آغشتگی سطحی مالاکیت در شکستگی‌های این سنگ‌های آتشفشانی دیده می‌شود، شواهدی از فازهای ثانویه بعدی از کانی‌سازی مس در این منطقه قابل دیده است که در اثر جایگزینی و تزریق توده‌های شبه آتشفشانی و توده‌های نفوذی در عمق بوده است. حضور این توده نفوذی و شبه آتشفشانی اگر چه منجر به فرایندهای دگرسانی به نسبت گسترده‌ای در این منطقه شده است، اما برای کانی‌سازی به این صورت عمل نکرده است؛ به طوری که گسترش کانی‌سازی در این منطقه در مقایسه با گستره کانی‌سازی شده کنار آن، یعنی بندر هنزا، از مقدار و شدت کمتری برخوردار است.

بررسی‌های صحرایی به همراه شواهد میکروسکوپی نشان می‌دهد که کانی‌سازی در منطقه اغلب در دو مرحله درونزد و سوپرژن به سه صورت سولفیدی، اکسیدی و کربناتی است (جدول ۵). کانی‌سازی درونزد در منطقه گروه به صورت داربستی دیده می‌شود. کانه‌های سولفیدی غالب در منطقه گروه شامل کالکوپیریت و پیریت هستند. کالکوپیریت کانی اصلی مس در منطقه است. این کانی فقط در بخش کوچکی از در شمال شرقی منطقه در واحد میکرو گرانودیوریت پورفیری یافت می‌شود. این کانی به صورت پراکنده در اندازه‌های کوچک و بزرگ دیده می‌شود. ارتباط ویژه‌ای بین پیریت و کالکوپیریت در این مقطع وجود ندارد و دانه‌های پیریت در کنار کالکوپیریت قرار گرفته‌اند (شکل ۱۰ الف). پیریت فراوان‌ترین کانی

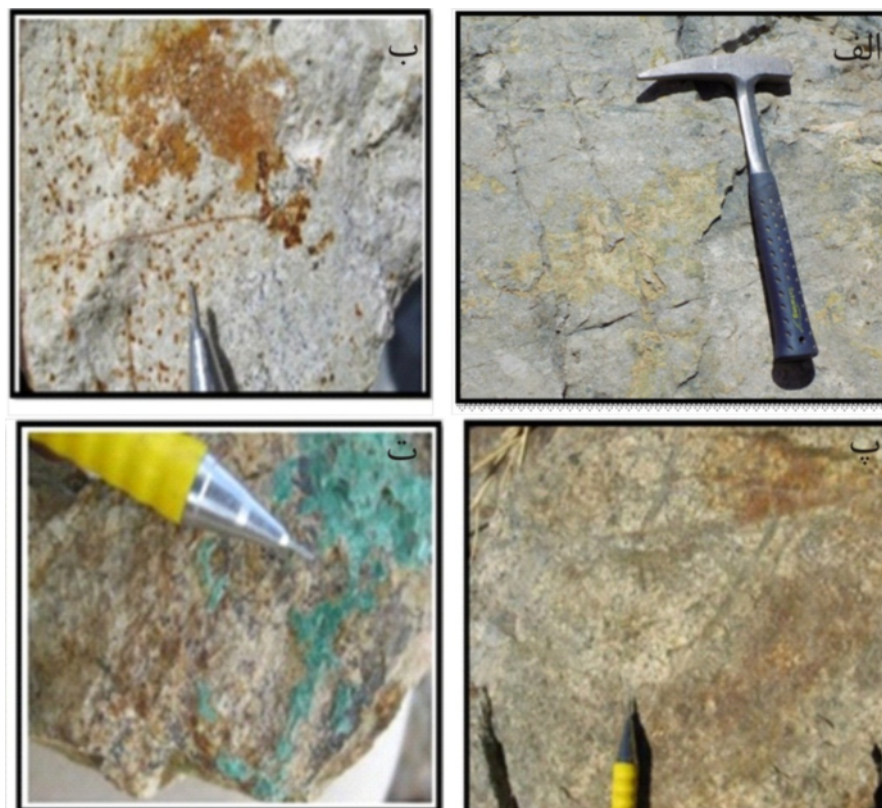
سولفیدی منطقه است. بر اساس بررسی‌های کانی‌نگاری، پیریت در بیشتر مقاطع به صورت مجزا در متن سنگ و در اندازه‌های کوچک تا بزرگ دیده می‌شود (شکل‌های ۱۰ ب، پ). با توجه به گسترش به نسبت قابل توجه واحد دگرسانی فلیک در این منطقه و حضور پیریت ثانویه ناشی از دگرسانی به عنوان یکی از اجزای این نوع دگرسانی، انتظار می‌رود که حضور کانی‌سازی پیریت افشان و فاز اکسیدی و هیدروکسیدی ناشی از آن از گسترش چشمگیری برخوردار باشند که در عمل نیز چنین بوده است. عمده‌ترین کانه‌های اکسیدی منطقه گروه مگنتیت، هماتیت و گوتیت هستند. کانی مگنتیت در مقاطع اندک حضور دارد و به نظر می‌رسد که بیشتر بلورهای مگنتیت به هماتیت تبدیل شده‌اند. مهم‌ترین کانی کربناتی در نواحی اکسایشی منطقه گروه مالاکیت است که در واحدهای آتشفشانی منطقه گروه گسترش سطحی خوبی دارد. مالاکیت در شرایط سطحی و اکسایشی تشکیل می‌شود و حضور آن نشانگر وجود کانی‌های مس‌دار است (شکل ۱۱ پ). گوتیت از هیدروکسیدهای آهن است که اغلب از دگرسانی هماتیت شکل گرفته و در برخی از مقاطع به همراه هماتیت قابل دیده است (شکل ۱۰ ت).

شواهد نبود پهنه سوپرژن

با توجه به الگوی دگرسانی - کانی‌سازی و توده‌های نفوذی در ارتباط با آن می‌توان نتیجه گرفت که مدل کانی‌سازی منطقه گروه از نوع مس پورفیری (مدل مونزونیتی) است. منطقه گروه از برخی نظرها قابل مقایسه با سایر ذخایر شناخته شده مس پورفیری در کمربند مس کرمان است؛ از جمله شباهت‌های آن می‌توان به وجود پهنه‌های دگرسانی پتاسیمی، فلیک، آرژلیک، پروپیلیتی و رخداد کانی‌سازی به صورت افشان و داربستی اشاره کرد. مهم‌ترین تفاوت آنها توزیع نامنظم دگرسانی‌هاست (گسترش بیش از حد دگرسانی پروپیلیتی و فلیک نسبت به سایر دگرسانی‌ها) (شکل‌های ۱۱ الف و ب). چنان که بررسی‌های کانی‌شناسی و دگرسانی و بررسی مغزه‌های حفاری نشان می‌دهد، کانی‌سازی در منطقه گروه تا حدی متفاوت از انواع دیگر پورفیری‌های موجود در کمربند مس کرمان است، چرا که برخلاف ذخایری چون سرچشمه، میدوک و دره‌زار که شامل پهنه سوپرژن هستند [۱۸]، این پهنه در منطقه گروه گسترش چندانی ندارد و کانی‌سازی سولفیدی در عمق کمی از سطح زمین وجود دارد. کانی‌سازی مس در منطقه گروه اغلب ارتباط نزدیکی با دگرسانی پتاسیمی نشان می‌دهد.



شکل ۱۰ مقطع صیقلی الف) کالکوپیریت و پیریت، ب) پیریت، پ: پیریت، هماتیت و مالاگیت و ت) هماتیت و گونیت



شکل ۱۱ الف: دگرسانی پروپیلیتی با حضور اپیدوت، ب) واحد آندزیتی با دگرسانی فیلیک و کانی سازی پیریت و اکسید آهن، پ) واحد میکروگرانودیوریت پورفیری با ساخت داربستی و ت) واحد تراکی آندزیت با کانی سازی سطحی مالاگیت.

جدول ۵ مراحل تشکیل و توالی همبرزایی کانی‌ها در منطقه گروه

کانی ها	هیپوژن	سوپرژن	
		سولفید	اکسید
کانه	پیریت	_____	_____
	کالکوپیریت	_____	_____
	مگنتیت	_____	_____
	هماتیت	_____	_____
	مالاکیت	_____	_____
	هیدروکسیدهای آهن	_____	_____
	گوئیت	_____	_____
باطله	کوارتز	_____	_____
	فلدسپار	_____	_____
	بیوتیت	_____	_____
	اپیدوت	_____	_____
	کلریت	_____	_____
	سریسیت	_____	_____
	کلسیت	_____	_____

در نتیجه کمبود کانی‌سازی سطحی در منطقه را می‌توان به ناهمواری خشن و بالا بودن سطح آب زیرزمینی نسبت داد. ارتفاع منطقه از سطح دریا بسیار است و همچنین اختلاف ارتفاع (اختلاف بلندترین با کوتاه‌ترین نقطه) در منطقه ۶۵۴ متر است که این اختلاف ارتفاع نشان‌دهنده فرسایش زیاد است، این فرسایش باعث انتقال و شست و شوی مس شده است. رخنمون دگرسانی پتاسیمی در سطح نشان دهنده ناهمواری خشن، بالا آمدگی و فرسایش شدید است که باعث انتقال مس به مناطق پایین دست شده است. همچنین نبود پهنه سوپرژن را با بالا بودن سطح آب زیر زمینی می‌توان توجیه کرد. به علت بالا بودن سطح آب زیر زمینی مس به طور کامل احیا ته‌نشین نشده و این مس به همراه حرکت آب زیر زمینی منتقل شده و پهنه سوپرژن ایجاد نشده است. البته نبود پهنه سوپرژن می‌تواند به دلیل بالا آمدگی و فرسایش شدید نیز باشد. در نتیجه فرسایش، فرصت کافی برای شست و شو و نهشت دوباره مس به صورت سوپرژن فراهم نشده است.

برداشت

نتایج برآمده از بررسی‌های صحرایی و سنگ‌شناسی نشان می‌دهد که در منطقه گروه سنگ‌های آتشفشانی شامل آندزیت، آندزی - بازالت، تراکی آندزیت و آندزیت - داسیت است و کانه‌سازی در این واحدها به دلیل بالا بودن مقدار مس در

کانی‌سازی درونزاد در منطقه گروه به صورت داریستی دیده می‌شود (شکل ۱۱ پ). رخنمون دگرسانی پتاسیمی و پستی و بلندی شدید می‌تواند نشانگر اثر بالاآمدگی و فرسایش شدید منطقه باشد، که باعث انتقال مس به مناطق پایین دست شده است [۲۱]. در نتیجه این فرسایش، فرصت کافی برای شستشو و نهشت دوباره مس به صورت سوپرژن فراهم نشده است. از دلایل دیگر می‌توان به بالا بودن سطح آب زیرزمینی اشاره کرد که مس‌های شسته شده که به سطح آب زیرزمینی برخورد کرده‌اند به طور کامل احیا نشده‌اند و در نتیجه مس ته‌نشین نشده و غنی‌سازی برونزاد نیز رخ نداده است [۲۲-۲۴]. فراوانی گوئیت نشان‌دهنده نسبت پیریت به کالکوپیریت، کم درجه اسیدی پایین و مقدار سولفید کل پایین در سنگ میزبان مس پورفیری است و همه اینها شواهدی منفی برای غنی‌شدگی ثانویه سولفیدی هستند [۲۱]. به طور محلی آثار اکسایش کانه‌های سولفیدی اولیه به صورت آغشتگی سطحی مالاکیت در سطح و در راستای شکستگی‌ها دیده می‌شود که نشان‌دهنده نبود محلول اسیدی سوپرژن برای شستشوی کامل مس از بخش‌های بالایی و بازنهشت آن در زیر سفره آب است (شکل ۱۱ ت) [۲۵]. بنابراین، پهنه سوپرژن در منطقه گروه، در مقایسه با اغلب پورفیری‌های شناخته شده در کمر بند دهج - ساردوئیه گسترش ندارد. به طور خلاصه نبود پهنه سوپرژن و

Located in South of Dehaj-Sarduiyeh Zone, using ASTER Data(in Persian) ", Iranian Journal of Remote Sencing & GIS 2 (2013) 53-64.

[5] Ravankhah A., Moayyed m., Amini S., "*Studies of Geology , Petrology , Economic geology and Alteration zones in porphyry copper deposit of Dare-zar (south west of Kerman) (in Persian)*", Iranian Journal of Geology 12 (2010) 63-76.

[6] Ahmadi moghdam P., Ahmadi pour H., "*Geochemistry and petrogenesis of the Cheheltan Mountain volcanic rocks; south-west of Bardsir (Kerman Province) (in Persian)*", Iranian Journal of Crystallography and Mineralogy 1 (2014) 37-48.

[7] Taghipour N., Aftabi A., and Mathur R., "*Geology and Re-Os Geochronology of Mineralization of the Miduk Porphyry Copper Deposit*", Resource Geology 2 (2008) 143-160.

[8] Chekanimoghadam M., Tahmasbi Z., Ahmadi Khalaji A., "*Mineralogy, geochemistry and origin of Baft northeast volcanic rocks (south Kerman): Evidence for volcanic arc magmatism in Uromieh-Dokhtar magmatic belt (in Persian)*", Iranian Journal of Crystallography and Mineralogy 4 (2017) 743-760.

[9] Safiei B., "*Lead igneous rocks and porphyry copper deposit from the Kerman Cenozoic magmatic arc(SE Iran), and their magmatic – metallogenetic implications*", ore geology reviews 23 (2010) 27-36.

[10] Dimitrijevic M. D., "*Geology of Kerman region*", geology survey of Iran (1973).

[11] Berberian, M; King, g . c. p., "*Toward a paleogeography and tectonic evolution of Iran*", Earth science.18(1981) 215 – 265.

[12] Sahaabpour J., "*Tectonic evolution of the orogenic belt in the region located between Kerman and Neyriz*", Jornal of Asian Earth science 24 (2005) 405 – 417.

[13] Le Bas. M. J., Le Maitre W., Streckeisen A., Zanettin B., "*The classification of the volcanic rocks based on the total alkali-silica diagram*", Journal of Petrology, 27 (1986) 745-750.

[14] Irvin T. N., Baragar W. R. A., "*A guide to the chemical classification of the common volcanic rocks*", Canadian. Jour. Eart. Sci., 8(1971)523-548.

[15] Chappell B.W., white A.J.R., "*Two contrasting granite types*", Pasific Geol, 8 (1983) 173- 174.

ماگمای اولیه، به صورت پوشش سطحی مالاکیت در سطح و شکستگی‌های این سنگ‌های آتشفشانی دیده می‌شود. واحدهای نفوذی شامل دیوریت، کوارتز دیوریت، گرانودیوریت و میکروگرانودیوریت پورفیری است و کانه‌زایی فقط در واحد میکروگرانودیوریت پورفیری در انتهای شمال شرقی منطقه به صورت داریستی وجود دارد. از نظر کانی‌سازی، عیار میانگین مس گمانه‌ها ۰/۰۴ تا ۰/۱۳ درصد و عیار میانگین مولیبدن آنها ۴/۵ تا ۲۰/۷ گرم در تن است. اختلاف مشخصی بین توده‌های دیوریتی و گرانودیوریتی در مقدار عیار مس و مولیبدن وجود ندارد و اغلب در ابتدای گمانه‌ها، مقدار عیار مس در هر دو توده بالاتر است. این کانی‌سازی به صورت درونزاد است و ارتباط نزدیکی با دگرسانی پتاسیمی نشان می‌دهد. پهنه‌های دگرسانی اصلی در کانسارهای مس پورفیری در نهشته معدنی گروه دیده می‌شوند. دگرسانی پروپیلیتی گسترش بسیاری دارد و پهنه‌های پتاسیمی، فلیک و آرژیلیک دارای حجم کمتری هستند. رخنمون دگرسانی پتاسیمی و ناهمواری شدید می‌تواند بیانگر اثر بالآمدگی و فرسایش شدید بر منطقه باشد که موجب گسترش نیافتن پهنه سوپرژن در منطقه گروه شده است.

قدردانی

این پژوهش با حمایت‌های مالی شرکت ملی صنایع مس ایران انجام گرفته است که نگارندگان کمال تشکر را از ایشان دارند.

مراجع

[1] Shafiei B., Haschke M. Shahabpour J., "*Recycline of orogenic arc crust triggers porphyry Cu mineralization in Kerman Cenozoic arc rocks south eastern Iran*": Mineralization deposit 44(2009) 265 – 283.

[2] Dorany M., Moradeyan A., "*Geochemical and tectonomagmatic investigation of gabbros in southwest of Shahr-Babak, Kerman province (in Persian)*", Iranian Journal of Crystallography and Mineralogy 1 (2007) 193-210.

[3] Alirezaie A., Alyani F., Moradian A., "*The study of petrography, geochemical characteristics and tectono magmatic setting of Meiduk porphyry copper deposit, Shahrebabak- Kerman (in Persian)*", Iranian Journal of Crystallography and Mineralogy 3 (2012) 441-454.

[4] Mohebi A ., Behzadi M ., Mirnejad H., Taghizadeh H., "*Identifying Areas of Copper Porphyry Alteration Haloes in Hanza Mountain*

leached capping for estimation of supergene enrichment in porphyry copper deposits (in Persian)", Iranian Journal of Geology 10 (2010) 85-96.

[22] Asadi S., Moore F., Zarasvandi A., "Discriminating productive and barren porphyry copper deposits in the southeastern part of the central Iranian volcano-plutonic belt, Kerman region, Iran", A review. Earth-Science Reviews, 138 (2014) 25-46.

[23] Sillito R. H., "Supergene oxidized and enriched porphyry copper and related deposit", Economic Geology (2005), 723-768.

[24] Sillito R. H., "Porphyry copper systems", Economic geology, 105(2010) 3-41.

[25] Hezarkhani A., Williams-Jones A. E., "Controls of alteration and mineralization in the Sungun porphyry copper deposit, Iran: Evidence from fluid inclusion and stable isotopes", Economic Geology, 93(1998) 651-670.

[16] Maniar P. D., Piccoli P. M., "Tectonic discrimination of granitoids", Geo. Soc. Am. Bull, 101(1989) 635-643.

[17] Ranjbar H., Shahriari H., "Comparison of ETM+ and ASTER data for hydrothermal alteration mapping in the central part of the Dehaj-Sarduyeh belt, Kerman Province (in Persian)", Iranian Journal of Crystallography and Mineralogy 2 (2006) 367-382.

[18] Hezarkhani A., "Hydrothermal evolution of the Sar-Cheshmeh porphyry Cu-Mo deposit, Iran: evidence from fluid inclusions", Journal of Asian Earth Sciences 28(2006) 409-422.

[19] McMillan W. J., Panteleyev A., "Porphyry Copper Deposits, in Roberts, R.G, and Sheahan, P.A, (eds.)", Geoscience Canada, Reprint Series 3(1986), 194.

[20] Sinclair W. D., "Porphyry deposit, Mineral deposit of Canada", Geological association of Canada special publication 5 (2007).223-243.

[21] Hosseinzadeh GH., Mouayed M., Esfahanpour R., "Supergene processes in Sonajil porphyry copper deposit with respect to using of